

ДОСЛІДЖЕННЯ В КІНЕМАТИЧНО ПОВНОМУ ЕКСПЕРИМЕНТІ СИСТЕМИ $t+\alpha$
ПРИ ЕНЕРГІЇ α -ЧАСТИНОК 27.2 МеВ

О.К. Горпинич, О.М. Поворозник, Ю.С. Рознюк, Б.Г. Стружко

Реакцію ${}^3\text{H}(\alpha, d\alpha)n$ було досліджено в кінематично повному експерименті при енергії $E_\alpha = 27.2$ МеВ. У рамках моделі послідовного розпаду отримано параметри резонансів для основного стану ядра ${}^5\text{He}$: $E_r = 0.89$ МеВ, $\Gamma = 0.60$ МеВ та для збудженого $2P_{1/2}$ стану $E_r = 2.0$ МеВ, $\Gamma = 2.0$ МеВ.

Дослідження ядерних реакцій з трьома частинками в кінцевому стані є широко впровадженим методом отримання інформації про ядерну взаємодію, спектроскопію і структуру атомного ядра. Шляхом вибору кінематичних умов складні для теоретичного опису процеси проходження тричастинкових реакцій можна розділити на прості двохчастинкові взаємодії, такі як квазівільне розсіяння (КВР), взаємодія в кінцевому стані (ВКС), послідовний розпад. Ці процеси експериментально спостерігались і вивчались у різних тричастинкових реакціях. Незважаючи на значну кількість експериментальних та теоретичних досліджень [1 - 6] таких малонуклонних систем, як ${}^5\text{He}$, ${}^6\text{He}$, ${}^5\text{Li}$, відсутнє ясне розуміння значної розбіжності параметрів резонансів, наведених у цих роботах. Тому подальше експериментальне та теоретичне дослідження таких малонуклонних систем представляє великий інтерес.

Основна мета роботи полягає в уточненні параметрів першого збудженого стану ${}^5\text{He}$ за допомогою кінематично повного експерименту в реакції ${}^3\text{H}(\alpha, d\alpha)n$ при енергії $E_\alpha = 27,2$ МеВ.

В експерименті, який виконувався на циклотроні У-120, колімований пучок прискорених α -частинок опромінював тритій-титанову мішень. Товщина мішені була рівною 2.7 мг/см². Титанову фольгу було насичено тритієм при співвідношенні атомів тритію до атомів титану, близькому до одиниці.

Схему експерименту, що проводився на циклотроні У-120, наведено на рис. 1. Формування пучка здійснювалося за допомогою діафрагм D_1 та D_2 діаметром 8 та 3 мм. Відстань між ними становила 2500 мм. Антирозсіювальна діафрагма D_3 мала діаметр 8 мм і розміщувалась на відстані 100 мм від D_2 , а від мішені M – 2000 мм. Вона служила для зменшення фону заряджених частинок, розсіяних на краях діафрагми D_2 . Для контролю положення пучка на мішені проводилося вимірювання заряду на діафрагмі D_2 і на циліндрі Фарадея.

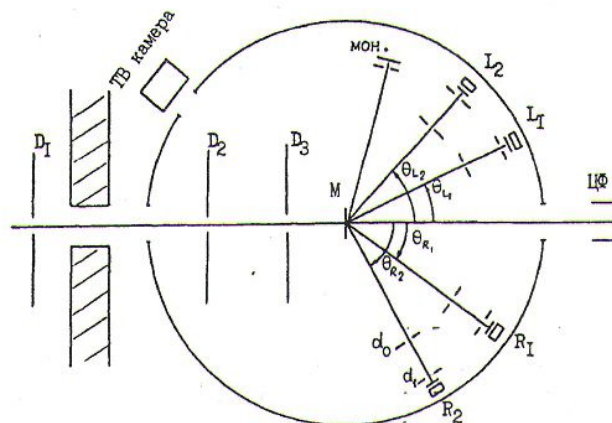


Рис. 1. Геометрія експерименту.

З лівого та правого боків від осі пучка в площині реакції розташовувались детекторні платформи, на яких розміщувались по два телескопи для реєстрації продуктів ядерних реакцій. Ліві телескопи L1 та L2 складались з поверхнево-бар'єрних кремнієвих ΔE детекторів товщиною по 25 - 50 мкм і нейтронно-легованих E детекторів товщиною 1.5 мм і призначались для реєстрації α -частинок. Праві телескопи R1 і R2 відрізнялися від лівих лише товщиною ΔE детекторів - 100 мкм, оскільки використовувались для реєстрації та ідентифікації однозарядних частинок. Тілесні кути телескопів вибирались таким чином, щоб досягти оптимальної швидкості набору експериментальних даних та мінімізувати співвідношення "фон/ефект" і становили для лівих L1 та L2 телескопів 1.30 та 3.67 мстер, для правих R1 і R2 - 1.44 і 3.61 мстер відповідно. Кут між лівими телескопами 6° , між правими - 7.5° . Використання двох пар телескопів давало можливість збільшити ефективність використання циклотронного часу. Поза площиною реакції під планарним кутом $\sim 60^\circ$ розміщувався моніторний детектор для контролю положення пучка та ступеню вигорання мішені. Вимірювання було проведено для таких пар кутів: $\theta_d/\theta_\alpha = 36^\circ/19.5^\circ$; $36^\circ/16.5^\circ$; $36^\circ/10.0^\circ$; $28.5^\circ/19.5^\circ$; $28.5^\circ/16.5^\circ$; $28.5^\circ/10.0^\circ$.

Інформація про кожну збігову подію від детекторів за допомогою стандартної схеми швидко – повільних збігів подавалась на ЕОМ СМ-1420 і записувалась на магнітну стрічку для подальшого аналізу. Для розшифровки та сортування записаної 'on line' інформації на основі створеного раніше для ЕОМ СМ-1420 пакету програм було розроблено систему програм обробки експериментальних даних для персонального комп'ютера [7], що значно прискорило процес обробки експериментальних даних.

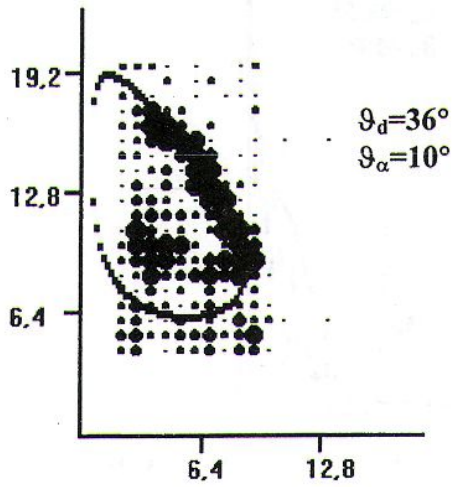
Енергетична калібровка детекторів проводилась, використовуючи пружне та непружне розсіяння α -частинок на Ті та тритії. Із відомих положень піків на спектрах, енергії яких отримано з кінематичних розрахунків, паспортних значень товщин ΔE -детекторів та значень питомих енергетичних втрат $dE(E)/dx$ від енергії, за допомогою спеціально розробленої програми визначались калібровочні коефіцієнти. Така енергетична калібровка "під пучком" більш коректна, ніж з використанням джерел α -випромінювання в силу того, що детектори знаходяться в умовах реального експерименту, до того ж дає можливість визначити дійсну товщину ΔE -детекторів.

У результаті обробки накопиченої 'on-line' інформації отримали прокалібровані матриці (d - α)-збігів для відповідних пар кутів. Для перевірки істинності калібровки і відповідності кутів на отримані матриці збігів накладали кінематичні криві (рис. 2). Для кожної пари кутів верхня (рис. 2, a - e) та нижня (рис. 2, в - e) гілки локусів матриці (d - α)-збігів окремо проектувалися на вісь енергії дейтронів. Усі нижні гілки матриць збігів мають менше заповнення локуса. На рис. 3 наведено спектри дейтронів, отримані в результаті проектування різних гілок двохвимірних спектрів (d - α)-збігів з досліджуваної реакції. Завдяки інтенсивнішому заповненню верхніх гілок матриць (d - α)-збігів (див. рис. 2) їх проекції на рис. 3 (в - e) мають більші значення, ніж проекції нижніх гілок, які розташовані під ними. Кривими на цих рисунках показано результати розрахунків у рамках моделі послідовного розпаду з використанням формули Брейта-Вігнера [1]

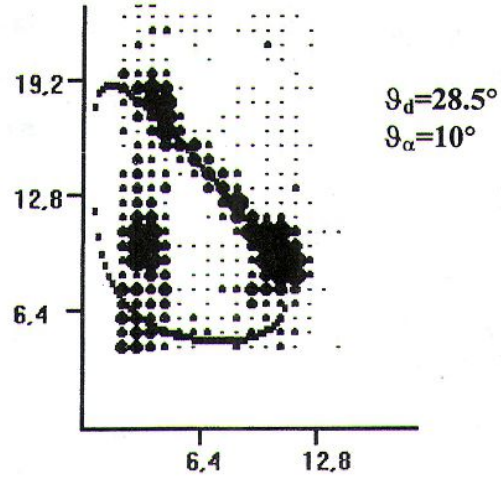
$$d^3\sigma/(d\Omega_\alpha d\Omega_d dE_d) \sim \rho \times \sum_i (C_i / [(E - E_{ri})^2 + (\Gamma_i^2/4)]),$$

де ρ - множник фазового простору; E_{ri} та Γ_i - відповідно положення та ширина збудженого та основного станів ядра ^5He ; C_i - відносний вклад кожного з резонансів.

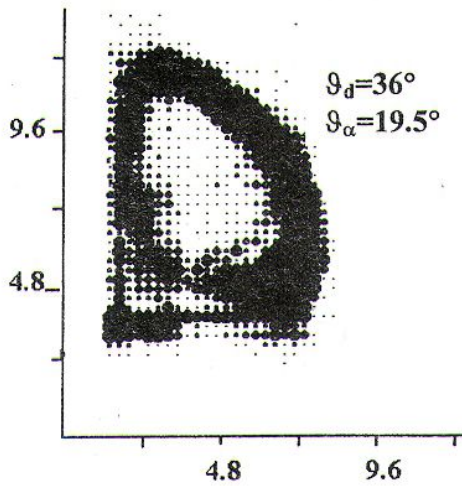
Як видно з рис. 3 (в, г, д, е) збудження і розпад основного стану ^5He є домінуючим механізмом проходження досліджуваної реакції як на верхній, так і на нижній гілках збігових локусів, а перший збуджений стан ядра ^5He проявляється з незначною інтенсивністю. Із зменшенням кута вильоту α -частинок для одних і тих же кутів реєстрації дейтронів збільшується відносний вклад першого збудженого стану ядра, причому для пар



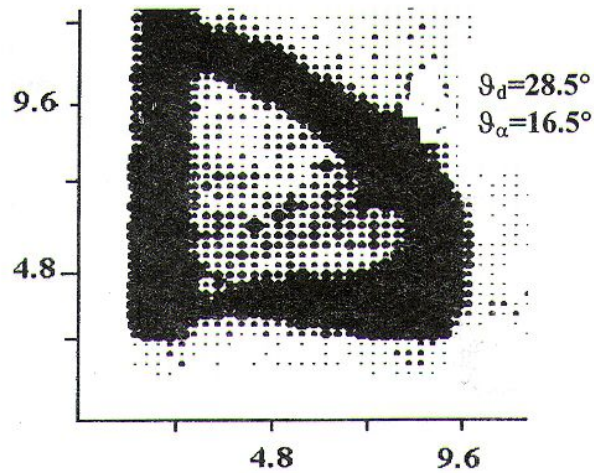
a



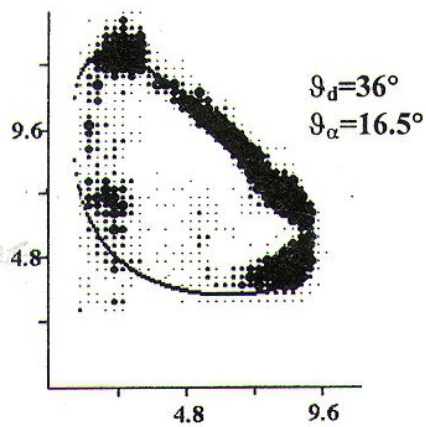
б



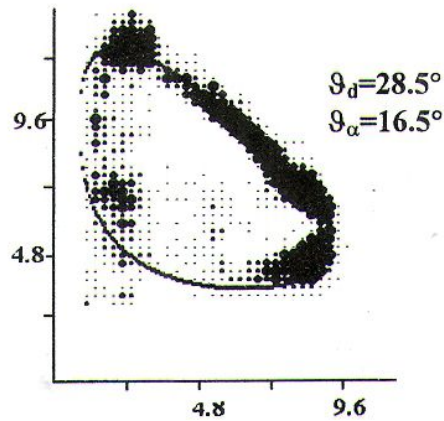
в



г



д



е

Рис. 2. Матриці (d - α)-збігів. По осі абсцис – енергія дейтронів, MeB, по осі ординат – енергія α -частинок, MeB. Суцільними лініями позначено відповідні кінематичні криві.

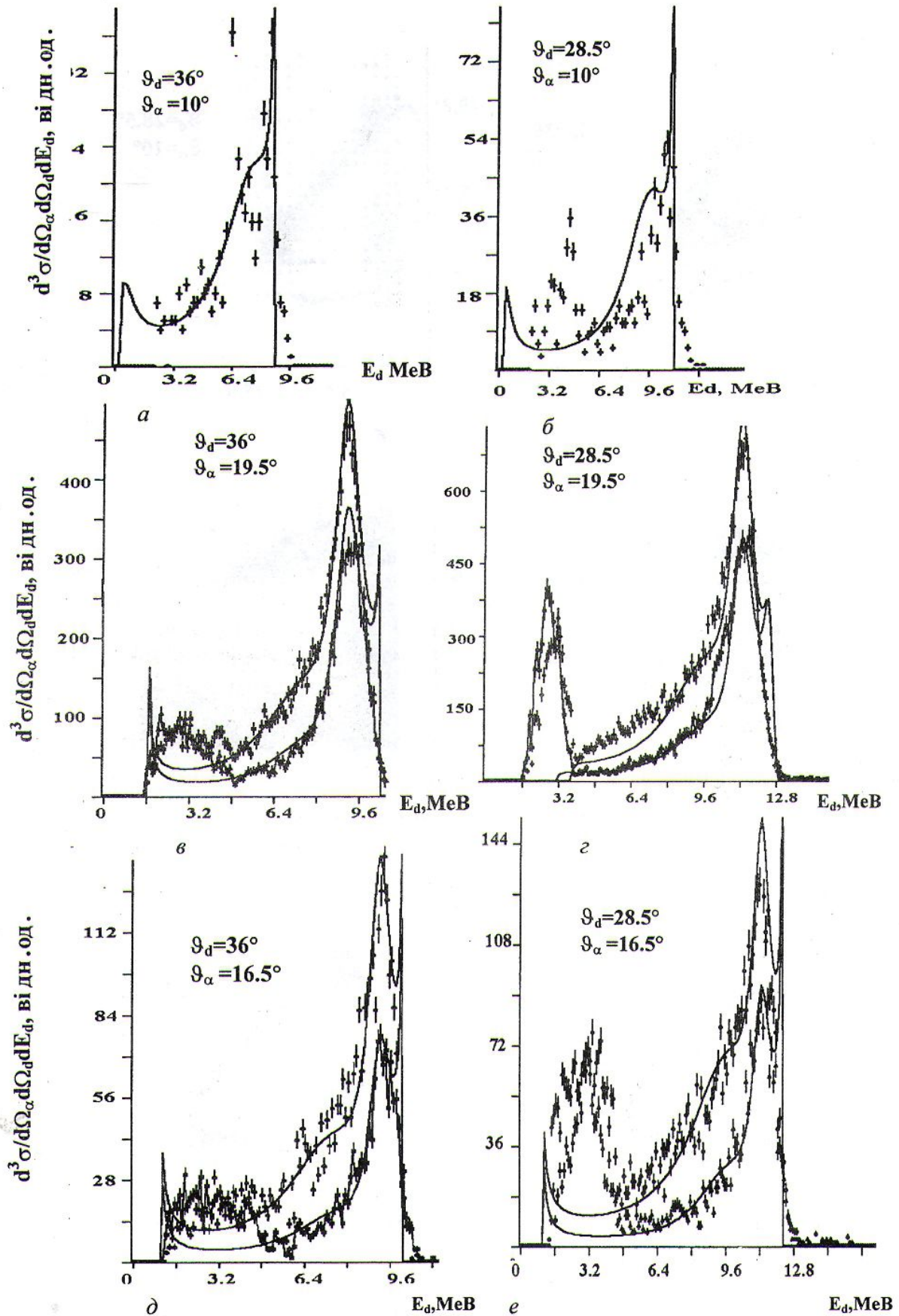


Рис. 3. Проекції верхніх та нижніх гілок матриць (d - α)-збігів з реакції ${}^3\text{H}(\alpha, d\alpha)\text{n}$. Кривими позначено розрахунки в рамках моделі послідовного розпаду.

кутів $\theta_d/\theta_\alpha = 36^\circ/10.0^\circ; 28.5^\circ/10.0^\circ$ (див. рис. 3 а, б) вклад від утворення основного стану практично відсутній, оскільки мінімальна відносна енергія в парі "n - α " для цих кінематичних умов більша за 1.2 МеВ, а положення резонансу, що відповідає утворенню ^5He в основному стані - 0.89 МеВ. Це дає можливість, незважаючи на невисоку статистику, з більшою достовірністю отримати параметри першого збудженого стану.

З аналізу наведених вище експериментальних даних отримано такі параметри першого збудженого стану ^5He : енергетичне положення $E_{n\alpha} = 2.0 \pm 0.5$ МеВ та його ширина $\Gamma = 2.0 \pm 0.5$ МеВ. Параметри для основного стану, які дорівнювали $E_{n\alpha} = 0.89 \pm 0.5$ МеВ, $\Gamma = 0.6 \pm 0.5$ МеВ, співпадають з літературними даними [4]. Цей результат порівнювався з параметрами, отриманими нами з дослідження реакції $^3\text{H}(\alpha, p\alpha)n$ при енергії 27.2 МеВ [1]. Виявлену розбіжність у значеннях можна віднести на вклад резонансів ^6Li , які частково збуджуються, незважаючи на вибрані нами в даному експерименті кінематичні умови (відносна енергія в парі " α - d" практично залишалася постійною).

СПИСОК ЛІТЕРАТУРИ

1. Горпинич О.К., Гранцев В.І., Дряпаченко І.П та ін. // Матеріали щорічн. наук. конф. Ін-ту ядерних досліджень НАН України. - Київ, 1999. - С. 77.
2. Bond J.E. and Firk F.W.K. // Nucl. Phys. - 1977. - А 287. - Р. 317.
3. Schwandt P., Clegg T.B., Haeberty W. // Nucl. Phys. - 1971. - А 163. - Р. 432.
4. Ajzenberg-Selove F. // Nucl. Phys. - 1988. - А 490. - Р. 1.
5. Горпинич О.К., Павленко Ю.Н., Поворозник О.М., Стружко Б.Г. // Изв. АН СССР. Сер. физ. - 1993. - Т. 57. - С. 21.
6. Csoto A. and Hale G.M. // Phys. Rev. - 1997. - С 55. - Р. 536.
7. Пірнак Віт. М., Стружко Б.Г. // Матеріали щорічн. наук. конф. Ін-ту ядерних досліджень НАН України. - Київ, 1999. - С. 118.

ИССЛЕДОВАНИЕ В КИНЕМАТИЧЕСКИ ПОЛНОМ ЭКСПЕРИМЕНТЕ СИСТЕМЫ $t+\alpha$ ПРИ ЭНЕРГИИ α -ЧАСТИЦ 27.2 МЭВ

О.К. Горпинич, О. М. Поворозник, Ю. С. Рознюк, Б. Г. Стружко

Реакция $^3\text{H}(\alpha, d\alpha)n$ была исследована в кинематически полном эксперименте при энергии $E_\alpha = 27,2$ МэВ. В рамках модели последовательного распада получены параметры резонансов для основного состояния ядра ^5He $E_r = 0.89$ МэВ, $\Gamma = 0.6$ МэВ и для возбужденного $2P_{1/2}$ состояния $E_r = 2.0$ МэВ, $\Gamma = 2.0$ МэВ.

INVESTIGATION OF THE $t+\alpha$ SYSTEM IN A KINEMATICALLY COMPLETE EXPERIMENT AT ENERGY $E_\alpha = 27.2$ MEV

O. K. Gorpnich, O. M. Povoroznyk, Y. S. Roznyuk, B.G. Struzhko

The $^3\text{H}(\alpha, d\alpha)n$ reaction was investigated in a kinematically complete experiment at energy $E_\alpha = 27,2$ MeV. Within the framework of model sequential decay the parameters of resonances for the ground and $2P_{1/2}$ excited states of a nucleus ^5He were obtained $E_r = 0.89$ MeV, $\Gamma = 0.6$ MeV and $E_r = 2.0$ MeV, $\Gamma = 2.0$ MeV.